

05,11

## Особенности состояний фторида кобальта в окрестности критического поля

© О.Г. Медведовская<sup>1</sup>, Т.А. Федоренко<sup>2</sup>, Г.К. Чепурных<sup>3,¶</sup>

<sup>1</sup> Сумский государственный педагогический университет им. А.С. Макаренко, Сумы, Украина

<sup>2</sup> Сумский государственный университет, Сумы, Украина

<sup>3</sup> Институт прикладной физики, Сумы, Украина

¶ E-mail: ipfmail@ipfcentr.sumy.ua

(Поступила в Редакцию 12 января 2016 г.

В окончательной редакции 28 апреля 2016 г.)

С учетом роста экспериментальных исследований, связанных с использованием фторида кобальта, изучено состояние фторида кобальта в окрестности критического значения  $H_c$  продольного магнитного поля  $\mathbf{H}$ , при котором магнитная подсистема кристалла  $\text{CoF}_2$  с большим взаимодействием Дзялошинского переходит из антиферромагнитной фазы в угловую. Обнаружено, что, несмотря на необычайно большую величину магнитной анизотропии кристалла, состояние магнитной подсистемы при  $H = H_c$  оказалось крайне чувствительным к незначительному отклонению вектора  $\mathbf{H}$  от оси  $C_4$ . Другая особенность состоит в том, что эта высокая чувствительность исчезает при увеличении или уменьшении магнитного поля всего лишь на тысячные доли  $H_c$ . Выполненные исследования применимы к магнитоупорядоченным кристаллам  $\text{FeF}_3$ ,  $\text{Cu}_2\text{OSeO}_3$ , которые, так же как и  $\text{CoF}_2$ , обладают сильным взаимодействием Дзялошинского и значительной магнитной анизотропией. Обнаруженная аномалия в уменьшении эффективной магнитной анизотропии представляет интерес в связи с многочисленными попытками уменьшить магнитную анизотропию в кристаллах с гигантской магнитострикцией, которые необходимы для использования в качестве сенсоров и вибраторов.

### 1. Введение

В последние годы увеличилось количество экспериментальных исследований [1–6], связанных с использованием фторида кобальта ( $\text{CoF}_2$ ). Однако особенностью кристалла  $\text{CoF}_2$  [7,8], как и кристаллов  $\text{FeF}_3$ ,  $\text{Cu}_2\text{OSeO}_3$ , которым также уделяется внимание (см., например, [9,10] соответственно), является наличие необычайно большой магнитной анизотропии и сильного взаимодействия Дзялошинского. Это обстоятельство создавало (и создает) определенные трудности для экспериментального изучения указанных кристаллов, и поэтому возникает необходимость в более детальном теоретическом изучении данных кристаллов на примере  $\text{CoF}_2$ .

Согласно экспериментальным данным [7,8], особенностью кристалла  $\text{CoF}_2$  (и, по-видимому, кристалла  $\text{FeF}_3$ ) является то, что под влиянием продольного магнитного поля магнитная подсистема этого кристалла вместо обычно наблюдаемого перехода из состояния  $\mathbf{I} \parallel \mathbf{A} \parallel [001]$  в состояние  $\mathbf{I} \perp \mathbf{A}$  ( $\mathbf{I}$  — вектор антиферромагнетизма,  $\mathbf{A}$  — ось легчайшего намагничивания) переходит в угловую фазу. Кроме того, этот кристалл обладает значительной магнитострикцией [11]. Поскольку обнаруженный экспериментально [7,8] переход в угловую фазу вызвал много вопросов, в работах [12,13] были выполнены теоретические исследования. И в них было показано, что переход в угловую фазу являет-

ся общим свойством всех легкоосных тетрагональных антиферромагнетиков (не зависимо от того, влияет магнитное поле на намагниченность подрешеток или нет), в которых в базисной плоскости преобладает анизотропия, обусловленная взаимодействием Дзялошинского, а не обменно-усиленная анизотропия четвертого порядка.

Одна из трудностей численного решения уравнений, определяющих состояние магнитной подсистемы только в продольном магнитном поле, состоит в значительном разбросе констант плотности энергии, определенных в различных экспериментах [7,8].

Расчетных работ, определяющих состояние магнитной подсистемы при отклонении направления магнитного поля от оси  $C_4$  в окрестности поля  $H_c$  фазового перехода, не существует. Тогда как экспериментальные данные, полученные еще в работе [8], свидетельствуют об особенностях поведения магнитной подсистемы при отклонениях направления магнитного поля от оси  $C_4$  всего на несколько угловых минут. Поэтому целью настоящей работы является выяснение возможных аномалий в уменьшении эффективной магнитной анизотропии в окрестности критического поля  $H_c$ . Это важно и по той причине, что в настоящее время существует огромный поток экспериментальных исследований, направленных на создание высокочувствительных сенсоров, генераторов мощного звука и ультразвука, нажимных устройств путем использования материалов,

обладающих гигантской магнитострикцией (см., например, [14–16] соответственно).

Этот интерес возник сразу после обнаружения [17–19] при низких температурах в редкоземельных металлах тербия и диспрозия анизотропной магнитострикции  $\Delta l/l \sim 10^{-2}$ . И хотя гигантская магнитострикция затем была обнаружена в интерметаллических соединениях TbFe<sub>2</sub> и DyFe<sub>2</sub> [20] при температурах выше комнатной, из-за огромной магнитной анизотропии гигантская магнитострикция реализовывалась при очень сильных изменениях магнитного поля. Попытки синтезировать материалы с малой магнитной анизотропией приводили к уменьшению магнитострикции (более подробно см. обзор [21]).

## 2. Составление уравнений

Поскольку рассматривается область магнитных полей, близких к критическому значению  $H_c$ , плотность энергии  $\mathcal{H}$ , используя данные работы [8], запишем в форме

$$\mathcal{H} = 2M_0 \left[ \frac{1}{2} E \mathbf{m}^2 + \frac{1}{2} G (\mathbf{ml})^2 + D(m_x l_y + l_x m_y) + \frac{1}{2} A_1 (l_x^2 + l_y^2) - \mathbf{mH} \right], \quad (1)$$

где  $\mathbf{m} = (\mathbf{M}_1 + \mathbf{M}_2)/2M_0$ ,  $\mathbf{l} = (\mathbf{M}_1 - \mathbf{M}_2)/2M_0$  — ферро- и антиферромагнитные векторы,  $\mathbf{M}_1$  и  $\mathbf{M}_2$  — намагниченности подрешеток,  $2M_0$  — намагниченность насыщения,  $E$  и  $G$  — константы обменного взаимодействия,  $D$  — константа взаимодействия Дзялошинского,  $A_1$  — константа одноосной анизотропии,  $\mathbf{H}$  — внешнее магнитное поле.

Согласно выбранной форме записи, все константы являются эффективными полями и измеряются в эрстедах. В выражении (1) учтены только главные члены, влияющие на состояние магнитной подсистемы в окрестности  $H_c$ . На векторы  $\mathbf{m}$  и  $\mathbf{l}$  наложено условие связи

$$\mathbf{m}^2 + \mathbf{l}^2 = 1, \quad (2)$$

а условие связи  $\mathbf{m} \cdot \mathbf{l} = 0$  невыполнимо из-за зависимости намагниченности подрешеток  $\mathbf{M}_1$  и  $\mathbf{M}_2$  от магнитного поля.

Ограничимся полями, при которых возможно выполнение условия  $m^2 \ll 1$ . На основе уравнения

$$\partial \mathcal{H} / \partial \mathbf{m} = 0 \quad (3)$$

в работе [8] определено выражение для намагниченности  $\mathbf{m}$ . В этой же работе [8] из плотности энергии (1) исключено  $\mathbf{m}$  и получено выражение для плотности энергии в плоскости ZX. Для нашего случая указанная формула в переменных  $\theta$  и  $\varphi$  ( $\theta$  и  $\varphi$  — полярный и

азимутальный углы вектора  $\mathbf{l}$ ) имеет вид

$$\begin{aligned} \mathcal{H} = 2M_0 \left\{ -\frac{1}{2E} [H_x^2 + H_z^2 - 2H_x D \sin \theta \sin \varphi + D^2 \sin^2 \theta] + \frac{G}{2E(E+G)} [H_x^2 \sin^2 \theta \cos^2 \varphi + H_x H_z \sin 2\theta \cos \varphi + H_z^2 \cos^2 \theta - 2H_x D \times \sin^3 \theta \sin 2\varphi \cos \varphi - 2H_z D \sin^2 \theta \cos \theta \sin 2\varphi + D^2 \sin^4 \theta \sin^2 2\varphi] + \frac{1}{2} A_1 \sin^2 \theta \right\}. \quad (4) \end{aligned}$$

Используя (4), получаем уравнения относительно  $\theta$  и  $\varphi$

$$\begin{aligned} \frac{\partial \mathcal{H}}{\partial \varphi} = \frac{1}{E} H_x D \sin \theta \cos \varphi + \frac{G}{2E(E+G)} \times [-H_x^2 \sin^2 \theta \sin 2\varphi - H_x H_z \sin 2\theta \sin \varphi - 4H_x D \sin^3 \theta \cos 2\varphi \cos \varphi + 4H_x D \times \sin^3 \theta \sin^2 \varphi \cos \varphi - 4H_z D \sin^2 \theta \cos \theta \times \cos 2\varphi + 4D^2 \sin^4 \theta \sin 2\varphi \cos 2\varphi], \quad (5) \end{aligned}$$

$$\begin{aligned} \frac{\partial \mathcal{H}}{\partial \theta} = \frac{1}{E} H_x D \cos \theta \sin \varphi - \frac{1}{2E} D^2 \sin 2\theta + \frac{G}{2E(E+G)} [H_x^2 \sin 2\theta \cos^2 \varphi + 2H_x H_z \cos 2\theta \cos \varphi - H_z^2 \sin 2\theta - 3H_x D \sin 2\theta \sin \theta \sin 2\varphi \cos \varphi - 2H_z D \sin 2\theta \cos \theta \sin 2\varphi + 2H_z D \sin^3 \theta \cos \theta \sin 2\varphi + 2D^2 \sin 2\theta \sin^2 \theta \sin^2 2\varphi] + \frac{1}{2} A_1 \sin 2\theta. \quad (6) \end{aligned}$$

## 3. Решение уравнений

В случае  $\mathbf{H} \parallel \mathbf{C}_4$  уравнения относительно углов  $\theta$  и  $\varphi$  для любых легкоосных тетрагональных антиферромагнетиков в угловой фазе имеют решение  $\varphi = \pi/4$ , которое соответствует минимуму энергии [12,13]. Если составляющая  $H_x \neq 0$ , то можно положить

$$\varphi = \pi/4 + \varphi_0 \quad (7)$$

и при  $H_x \ll H_z$  считать  $\varphi_0 \ll 1$ .

В этом случае, производя разложения тригонометрических функций в ряд и удерживая необходимые слагаемые, для угла  $\theta$  получаем уравнение

$$\begin{aligned} \frac{1}{\sqrt{2}} H_x \left[ \left( 1 + \frac{E}{G} \right) D \cos \theta + H_z \cos 2\theta \right] + \sin \theta \left\{ \cos \theta \left[ -H_z^2 - 2H_z D \cos \theta + 2D^2 \sin^2 \theta + \left( 1 + \frac{E}{G} \right) (A_1 E - D^2) \right] + H_z D \sin^2 \theta \right\} = 0. \quad (8) \end{aligned}$$

Если  $H_x = 0$  (продольное магнитное поле), то из (8) следует

$$\cos \theta \left[ -H^2 - 2HD \cos \theta + 2D^2 \sin^2 \theta + \left(1 + \frac{E}{G}\right)(A_1E - D^2) \right] + HD \sin^2 \theta = 0. \quad (9)$$

Уравнение (9) совпадает с уравнением (10) из работы [8]. Но это уравнение содержит четыре константы ( $E, G, A_1$  и  $D$ ), и их значения, определенные в различных экспериментах, оказались разбросанными. Согласно [7,8], наибольшее значение  $D = 350$  кОе, а наименьшее  $D = 54$  кОе. Наибольшее значение  $A_1 = 300$  кОе, наименьшее значение  $A_1 = 50$  кОе. Наибольшее значение  $E = 1500$  кОе, а наименьшее значение  $E = 480$  кОе.

Это обстоятельство затрудняет численное решение уравнения (9). Поэтому, используя формулу [8] для критического поля

$$H_c = \sqrt{\frac{E}{G}(A_1E - D^2) + A_1E - D} \quad (10)$$

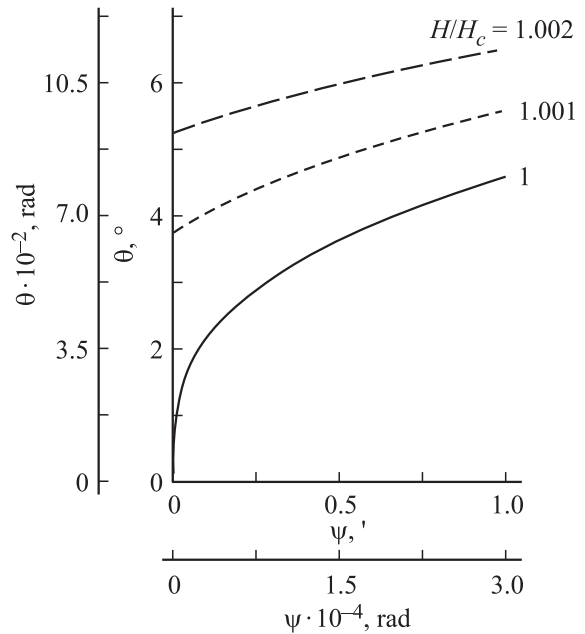
и определяя из этой формулы  $A_1E$ , а затем подставляя это значение в (9), получаем [22]

$$\cos \theta \left[ -\frac{H^2}{H_c^2} - 2\frac{HD}{H_c^2} \cos \theta + 2\frac{D^2}{H_c^2} \sin^2 \theta + 1 + 2\frac{D}{H_c} \right] + \frac{HD}{H_c^2} \sin^2 \theta = 0. \quad (11)$$

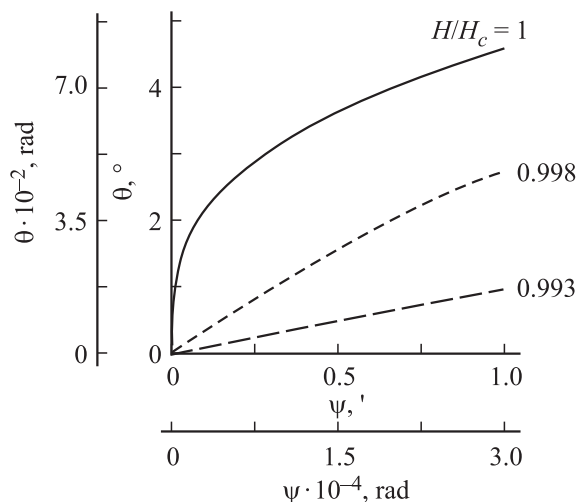
Поскольку значение  $H_c$  определяется в эксперименте без проблем, задавая наименьшее  $D = 50$  кОе и наибольшее значение  $D = 350$  кОе, мы нашли численные решения уравнения (11) [22]. С использованием этих решений в окрестности поля  $H_c$  определены зависимости намагниченности от поля в угловой фазе [22]. Оказалось, что найденные зависимости намагниченности лучше соответствуют экспериментальным данным при  $D = 50$  кОе. Поэтому, подставляя определенное значение для  $A_1E$  в уравнение (8), получаем

$$\frac{1}{\sqrt{2}} \frac{H_x}{H_c} \left[ \left(1 + \frac{E}{G}\right) \frac{D}{H_c} \cos \theta + \frac{H_z}{H_c} \cos 2\theta \right] + \sin \theta \left\{ \cos \theta \left[ -\frac{H_z^2}{H_c^2} - 2\frac{H_z D}{H_c} \cos \theta + 2\frac{D^2}{H_c^2} \sin^2 \theta + 1 + 2\frac{D}{H_c} \right] + \frac{H_z D}{H_c^2} \sin^2 \theta \right\} = 0. \quad (12)$$

Поскольку обменные константы  $E$  и  $G$  различаются незначительно, можно положить  $E = G$  и решать уравнение (12) при  $D = 50$  кОе и  $H_c = 210$  кОе. Численные решения уравнения (4) выполнены при различных значениях магнитного поля в интервале от  $H/H_c = 0.99$  до 1.01 и значениях угла  $\psi$  между осью  $C_4$  и вектором  $\mathbf{H}$



**Рис. 1.** Зависимость ориентации магнитной подсистемы кристалла  $\text{CoF}_2$  от ориентации магнитного поля  $\mathbf{H}$  в полях  $H/H_c \geq 1$ :  $\psi$  — угол между осью  $C_4$  и направлением поля  $\mathbf{H}$ ,  $\theta$  — угол между осью  $C_4$  и ориентацией вектора антиферромагнетизма  $\mathbf{l}$ .



**Рис. 2.** Зависимость ориентации магнитной подсистемы кристалла  $\text{CoF}_2$  от ориентации магнитного поля  $\mathbf{H}$  в полях  $H/H_c \leq 1$ . Обозначения те же, что на рис. 1.

в интервале от  $\psi = 0$  до  $1^\circ$ . Поскольку использовалось условие  $\varphi_0 \ll 1$ , в уравнении (12) было положено  $H_x = H \sin \psi = H\psi$  и  $H_z = H \cos \psi = H$ . Наиболее важные результаты приведены на рис. 1 и 2.

Из приведенных данных следует, что наибольшее и значительное изменение ориентации магнитной подсистемы фторида кобальта с изменением ориентации поля  $\mathbf{H}$  происходит при  $H = H_c$ . В этом случае при отклонении поля от оси  $C_4$  всего на  $1'$  угол  $\theta$  изменяется

на  $4.58^\circ$ . При дальнейшем увеличении угла  $\psi$  или увеличении или уменьшении величины поля всего на тысячные доли  $H_c$  высокая чувствительность исчезает. Отметим, что обнаруженная ранее в работах [23,24] аномалия в уменьшении эффективной магнитной анизотропии была связана с фазовым переходом первого рода, причем аномалия была тем сильнее, чем меньше отношение поля анизотропии к обменному полю. В данном же случае аномалия в уменьшении эффективной магнитной анизотропии связана с фазовым переходом второго рода и проявляется при необычайно большой магнитной анизотропии. Это обстоятельство представляет интерес в связи с многочисленными исследованиями соединений, обладающих гигантской магнитострикцией и огромной магнитной анизотропией.

В следующем разделе приведем несколько замечаний по использованию теории фазовых переходов Ландау в продольном магнитном поле.

#### 4. Теория Ландау в поле $\mathbf{H} \parallel \mathbf{C}_4$

Используя плотность энергии в формуле (4) при  $\varphi = \pi/4$  и производя разложение термодинамических функций в ряд при  $\theta \ll 1$ , получаем

$$\mathcal{H} = 2M_0 \left( -\frac{H^2}{2E} + A\theta^2 + B\theta^4 \right), \quad (13)$$

где

$$A = \frac{G}{2E(E+G)} \left[ -H^2 - 2HD + \frac{E+G}{G} (A_1E - D^2) \right], \quad (14)$$

$$B = \frac{G}{6E(E+G)} \left[ H^2 + 5HD + 3D^2 - \frac{E+G}{G} (A_1E - D^2) \right], \quad (15)$$

а угол  $\theta$  играет роль параметра порядка.

Исключая  $A_1E$  из формул (14), (15) путем использования выражения для критического поля  $H_c$ , для коэффициентов  $A$  и  $B$  находим соотношения

$$A = \frac{G}{2E(E+G)} \left[ -(H^2 - H_c^2) - 2D(H - H_c) \right], \quad (14a)$$

$$B = \frac{G}{6E(E+G)} \left[ H^2 - H_c^2 + D(5H + 2H_c) + 3D^2 \right]. \quad (15a)$$

Поскольку  $E, G, D > 0$ , имеем  $B > 0$ , а коэффициент  $A < 0$  в несимметричной фазе ( $\theta \neq 0, H > H_c$ ) и  $A > 0$  в симметричной фазе ( $\theta = 0, H < H_c$ ). В точке перехода  $A = 0$  ( $H = H_c$ ). Отметим, что формула (14a) отличается от обычно более простого выражения  $A \sim (T - T_c)$  (или  $A \sim (H - H_c)$ ).

#### 5. Заключение

Экспериментальную проверку вывода о существовании аномалии в уменьшении эффективной магнитной анизотропии можно осуществить, используя диэлектрический резонанс [25].

При изучении поглощения внешнего экспериментального поля на низких частотах можно также обнаружить максимум поглощения в окрестности поля  $H_c$ . По-видимому, представляет интерес экспериментальное изучение особенностей поглощения звука в кристалле  $\text{CoF}_2$  в окрестности  $H_c$ . Еще в работах [26–28] в кристаллах  $\text{MnF}_2, \text{CrO}_3, \alpha\text{-Fe}_2\text{O}_3$  были обнаружены аномалии поглощения (и изменения скорости) поперечного и продольного звука. Для согласования различных механизмов поглощения звука, а также понимания причин теоретически предсказанных особенностей взаимодействия спиновых и звуковых волн в области ориентационных фазовых переходов [29–32] целесообразно изучить в эксперименте возможные поглощения звука в  $\text{CoF}_2$  при  $\mathbf{H} \parallel \mathbf{A}$ . Дело в том, что в работах [26–28] обнаруженные скачки поглощения звука зависели от направления волнового вектора  $\mathbf{k}$ . Для поперечного звука они зависели еще и от направления вектора поляризации  $\mathbf{l}$ , тогда как пики поглощения в случае  $\mathbf{H} \parallel \mathbf{A}$  были обнаружены только для продольного звука и не зависели от направления волнового вектора  $\mathbf{k}$ .

#### Список литературы

- [1] T.R. Dugan, J.M. Goldberg, W.W. Brennessel, P.L. Holland. *Organometallics* **31**, 4, 1349 (2012).
- [2] Y.T. Teng, S.S. Pramana, J. Ding, T. Wu, R. Yazami. *Electrochim. Acta* **107**, 301 (2013).
- [3] M.J. Armstrong, A. Panneerselvam, C. O'Regan, M.A. Morrisab, J.D. Holmes. *J. Mater. Chem. A* **1**, 10667 (2013).
- [4] C.Y. Lee, Z. Su, K. Lee, H. Tsuchiya, P. Schmuki. *Chem. Commun.* **50**, 7067 (2014).
- [5] M.C. Leclerc, J.M. Bayne, G.M. Lee, S.I. Gorelsky, M. Vasiliu, I. Korobkov, D.J. Harrison, D.A. Dixon, R.T. Baker. *J. Am. Chem. Soc.* **137**, 16064 (2015).
- [6] J. Tan, L. Liu, S. Guo, H. Hu, Z. Yan, Q. Zhou, Z. Huang, H. Shu, X. Yang, X. Wang. *Electrochim. Acta* **168**, 225 (2015).
- [7] Н.Ф. Харченко, В.В. Еременко, Л.И. Белый. *ЖЭТФ* **82**, 827 (1982).
- [8] К.Г. Гуртовой, А.С. Лагутин, В.И. Ожогин. *ЖЭТФ* **83**, 1941 (1982).
- [9] Q. Chu, Z. Xing, J. Tian, X. Ren, A.M. Asiri, A.O. Al-Youbi, K.A. Alamry, X. Sun. *J. Power Sources* **236**, 188 (2013).
- [10] J.H. Yang, Z.L. Li, X.Z. Lu, M.H. Whangbo, S.H. Wei, X.G. Gong, H.J. Xiang. *Phys. Rev. Lett.* **109**, 107203 (2012).
- [11] А.С. Прохоров, Е.Г. Рудашевский. *Письма в ЖЭТФ* **10**, 175 (1969).
- [12] Г.К. Чепурных, О.Г. Медведовская, О.А. Никитина. *ФТТ* **41**, 2044 (1999).
- [13] Г.К. Чепурных, О.Г. Медведовская, О.А. Никитина. *ФНТ* **26**, 108 (2000).
- [14] Z.Y. Jia, H.F. Liu, F.J. Wang, W. Liu, C.Y. Ge. *Measurement* **44**, 88 (2011).
- [15] J. Tamura, Y. Kawamura, H. Mochiji, N. Sasaki, K. Mizutani, H. Okawa. *Jpn. J. Appl. Phys.* **50**, 07HC04 (2011).
- [16] H. Liu, Z. Jia, F. Wang, F. Zong. *Mechatronics* **22**, 911 (2012).
- [17] К.П. Белов, Р.З. Левитин, С.А. Никитин. *ФММ* **11**, 948 (1961).

- [18] S. Legvold, J. Alstad, J. Rhyne. Phys. Rev. Lett. **10**, 509 (1963).
- [19] К.П. Белов. Сорос. образоват. журн. **3**, 15 (1998).
- [20] N. Koon, A. Schinder, F. Carter. Phys. Lett. A **37**, 413 (1971).
- [21] J. Liu, T. Zhang, J. Wang, C. Jiang. Mater. China **4**, 002 (2012).
- [22] O.G. Medvedovs'ka, T.O. Fedorenko, G.K. Chepurnykh. Proc. of the XI Int. Conf. „Electronics and applied physics“. Kyiv, Ukraine (2015). P. 31.
- [23] Г.К. Чепурных. ФТТ **10**, 1917 (1968).
- [24] М.И. Каганов, Г.К. Чепурных. ФТТ **11**, 911 (1969).
- [25] Н.К. Данышин, Н.М. Ковтун, М.А. Сдвижков. ФТТ **26**, 3635 (1984).
- [26] Y. Sharira, J. Zak. Phys. Rev. **170**, 503 (1968).
- [27] Y. Sharira. Phys. Rev. **187**, 734 (1969).
- [28] Y. Sharira. Phys. Rev. **184**, 589 (1969).
- [29] С.В. Пелетминский. ЖЭТФ **37**, 452 (1959).
- [30] И.Е. Дикштейн, В.В. Тарасенко, В.Г. Шавров. ЖЭТФ **67**, 816 (1974).
- [31] Г.К. Чепурных. ФТТ **17**, 430 (1975).
- [32] Г.К. Чепурных. ФТТ **17**, 2712 (1975).